

HW3

赵心怡 19307110452

1.编程实现图像域基于空间滤波器的（1）平滑操作、（2）锐化算法；并把算法应用与图片上，显示与原图的对比差别。

平滑操作的主要方法有均值，高斯核以及中位数。

对于直接求均值的滤波器，采用

$$kernel = \begin{pmatrix} 1 & 1 & 1 \\ 1 & 1 & 1 \\ 1 & 1 & 1 \end{pmatrix} * \frac{1}{9}$$

而高斯核需要计算每个点到中间的距离再进行归一化。我们代码中设sigma=2.5

$$weight(s, t) = K \exp -\frac{(s-\mu)^2 + (t-\mu)^2}{2\sigma^2}$$

对结果进行卷积操作，即

$$(w * f)(x, y) = \sum_{s=-a}^a \sum_{t=-b}^b w(s, t) f(x - s, y - t)$$

代入公式进行计算。

对于中位数滤波器只需要找每个patch内灰度值的中位数。

具体代码如下：

```
1 def smoothing(img, len_patch, method):
2     [height, width]=img.shape
3     newImg = np.zeros([height,width],np.float64)
4     half_length = (len_patch - 1) // 2 # half of patch length
5     kernel = np.ones([len_patch,len_patch],np.float64)
6     tempImg = np.zeros((height + len_patch - 1, width + len_patch - 1)) #
temp matrix for convenient calculation
7     tempImg[half_length: height + half_length, half_length: width +
half_length] = img
8
9     if method == 'mean':
10         kernel = kernel*1.0/(len_patch*len_patch) # kernel for mean
algorithm
11     if method == 'gauss':
12         x, y = np.meshgrid(np.arange(len_patch), np.arange(len_patch))
13         sigma = 1
14         mu = half_length
15         kernel = np.exp(-((x - mu)**2 + (y - mu)**2) / (2*sigma**2))
16         kernel /= kernel.sum() # gaussian kernel
17
18     for i in range(half_length, height+half_length):
```

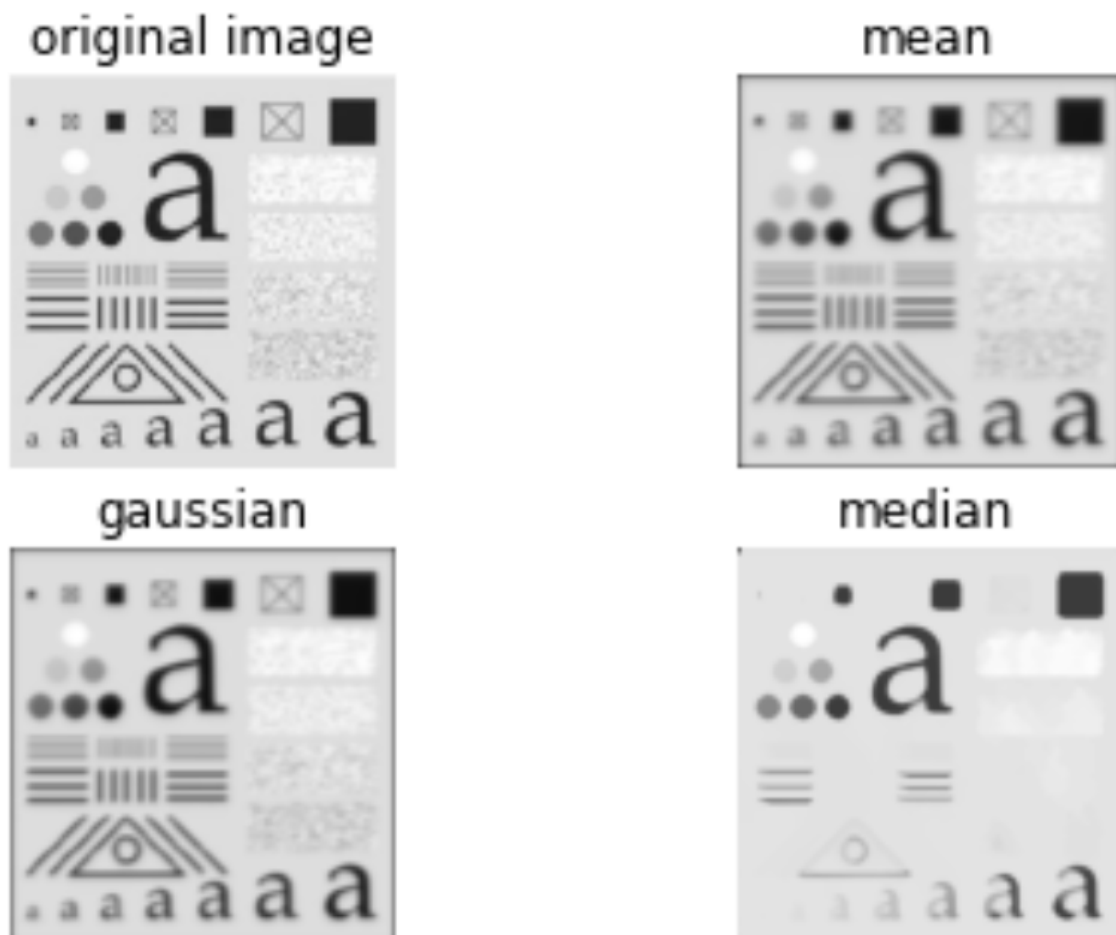
```

19         for j in range(half_length, width+half_length): # for all x, y in
temp_img
20             if method == 'median': # choose the median of patch, without
kernel
21                 tempImg[i][j] = np.median(tempImg[i - half_length:i +
half_length + 1,\
22                                             j - half_length:j + half_length +
1])
23             else: #else: convolution
24                 tempImg[i][j] = np.sum(kernel * tempImg[i - half_length:i +
half_length + 1,\
25                                             j - half_length:j +
half_length + 1])
26
27     newImg = tempImg[half_length:height + half_length, half_length:width +
half_length]
28     return newImg
29

```

我们测试patch=7, 15的情况，结果如下：

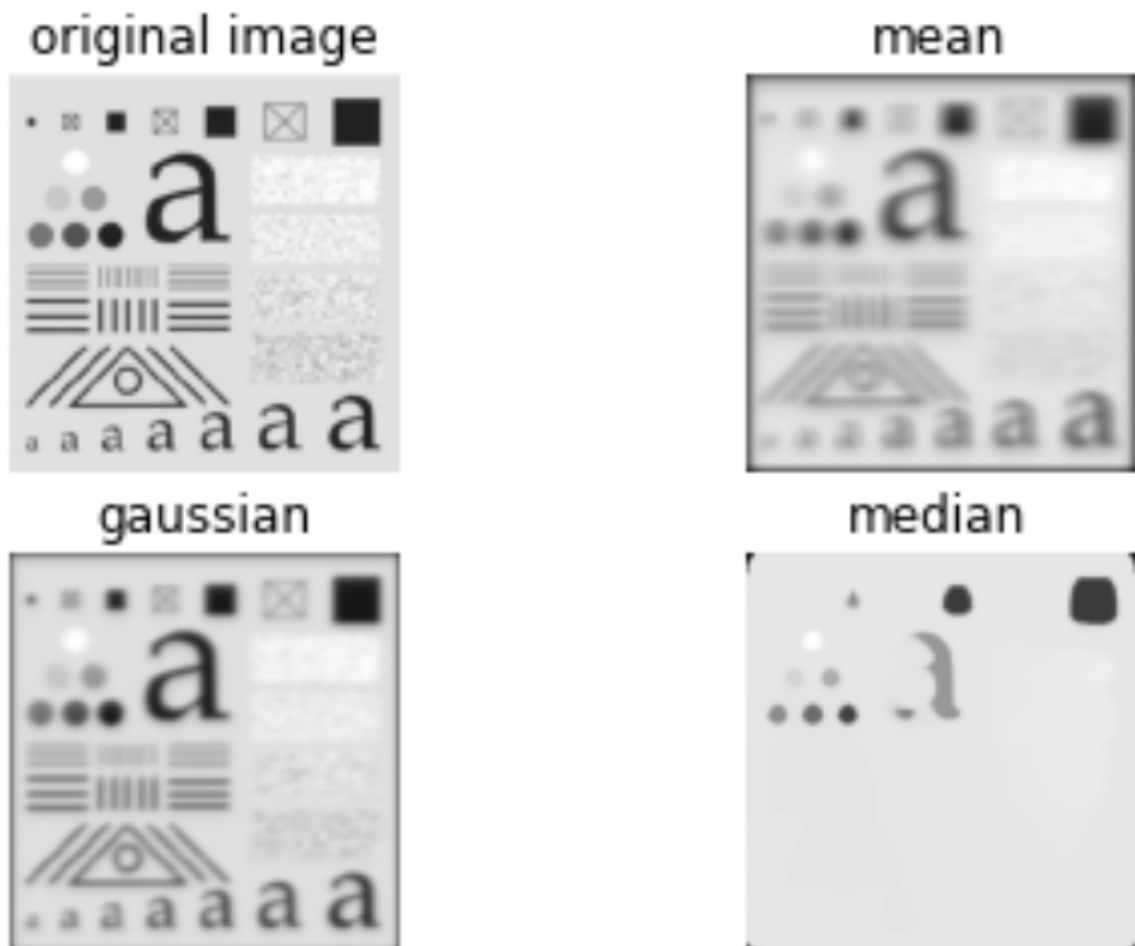
patch_length=7



在patch长度为7时，gauss核和直接均值的滤波器结果看起来相近，字的边缘变模糊，而中位数滤波器失去了很多信息，比如右边的噪点和三角形几乎看不见。一些很细的线条也无法识别。

周围黑色的边框出现的原因是我们加的tempimg边框默认是黑色。

patch_length=15



在patch长度为15时gauss核还基本保留原来的信息，均值滤波器看起来以及很模糊了，中位数滤波器丢失了大部分的信息几乎都看不见，只剩下了灰色的背景。

在patch减小为3的时候三种方法都较好的保留了原来的信息，模糊的不明显。

我们再次测试了不同sigma参数时候的高斯核滤波器的区别。增加sigma的值比较输出结果。

图中为sigma=20的结果



从图中可以看出当sigma变大的时候高斯分布更加平，中心点和距离为1的点的差距没有那么大，导致越来越接近均值滤波器的输出结果。

检验锐化算法：

拉普拉斯锐化与上一题的平滑滤波过程非常相似，不同的是我们的核不同，实现拉普拉斯算子的核：

$$\begin{pmatrix} 0 & 1 & 0 \\ 1 & -4 & 1 \\ 0 & 1 & 0 \end{pmatrix}$$

然后用 $f - w \nabla^2 f$ 得到最终图像。最后需要将图片范围归一到0-255范围。

具体代码如下：

```
1 def Laplace(img, len_patch, w):
2     [height, width]=img.shape
3     newImg = np.zeros([height,width],np.float64)
4     half_length = (len_patch - 1) // 2 # half of patch length
5     kernel = np.ones([len_patch,len_patch],np.float64)
6     tempImg = np.zeros((height + len_patch - 1, width + len_patch - 1)) #
7     temp matrix for convenient calculation
8     tempImg[half_length: height + half_length, half_length: width +
9     half_length] = img
10    new_height, new_width = tempImg.shape
11    kernel = np.array([[0, 1, 0], [1, -4, 1], [0, 1, 0]]) # laplace
12    operator
13    hessian = np.zeros((new_height, new_width)) # Second derivative
14    for i in range(half_length, new_height - half_length): # for all x, y
15    in temp img
16    for j in range(half_length, new_width - half_length):
17    hessian[i][j] = np.sum(kernel * tempImg[i - half_length:i +
18    half_length + 1, j - half_length:j + half_length + 1]) #convolution
19    tempImg = tempImg - w * hessian # tempImg - hessian matrix
20    newImg = tempImg[half_length:new_height - half_length,
21    half_length:new_width - half_length] # new img
22    newImg = (newImg - newImg.min()) / (newImg.max() - newImg.min()) * 255
23    # restrict to [0, 255]
24    return newImg
```

highboost锐化就是利用平滑的结果，将原图减去模糊的图像得到mask，再用 $f + k \cdot mask$ 得到处理后的图像。

具体代码：

```
1 def highboost(img, len_patch, k):
2     f_bar = smoothing(img, len_patch, 'mean') # calculate f_bar
3     mask = img-f_bar.astype(int)
4     newImg = img + k * mask # new img
5     newImg = (newImg - newImg.min()) / (newImg.max() - newImg.min()) * 255 #
6     restrict to [0, 255]
7     return newImg
```

拉普拉斯结果

如图所示，我们测试了不同的w的输出结果

original image



rate=0.5



rate=1



rate=5



当 w 小的时候结果锐化结果不明显，当 w 逐渐变大，图片的边界变得清晰，但是图片的颜色也变灰了。

查看highboost的效果，可以看到随着 k 的改变，图片变化的趋势和上图 w 的趋势类似，也间接证明了二者的等价性。

original image



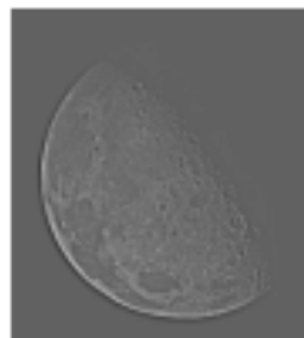
$k=1$



$k=5$



$k=20$



同时对比了不同patch大小下的锐化结果

original image



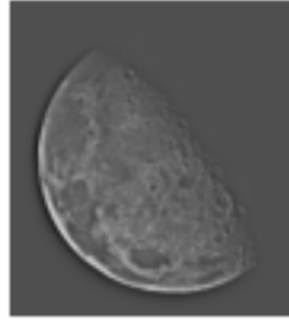
patch=3



patch=5



patch=15



当patch变大的时候，图像物体边缘更清晰，但图像也有些失真。可能是因为patch过大以后损失信息过大。

证明：

(1) 证明冲击串 (impulse train) 的傅里叶变换后的频域表达式也是一个冲击串。

(1) 证明冲击串的 Fourier 变换后频域表达式也是冲击串.

$$F(\mu) = \int_{-\infty}^{\infty} f(t) e^{-j2\pi\mu t} dt$$

互换 μt

$$F(t) = \int_{-\infty}^{\infty} f(\mu) e^{-j2\pi\mu t} d\mu.$$

$$\text{令 } \mu \text{ 为 } -\mu \quad F(t) = \int_{-\infty}^{\infty} f(-\mu) e^{j2\pi(-\mu)t} d(-\mu) = F^{-1}\{f(\mu)\}$$

$\therefore F(t) \Leftrightarrow F(-\mu)$ 是一个变换对.

$$\mathcal{F}\{\delta(t-t_0)\} = e^{-j2\pi\mu t_0} \text{ 利用对称性.}$$

$$\mathcal{F}\{e^{-j2\pi t_0 t}\} = \delta(-\mu - t_0) = \delta(\mu + t_0) \quad (1)$$

$\therefore S_{\Delta T}(t)$ 周期为 T . 写成 Fourier 级数则为:

$$S_{\Delta T}(t) = \sum_{n=-\infty}^{\infty} C_n e^{j\frac{2\pi n}{\Delta T} t} \quad \text{其中 } C_n = \frac{1}{\Delta T} \int_{-\frac{\Delta T}{2}}^{\frac{\Delta T}{2}} S_{\Delta T}(t) e^{-j\frac{2\pi n}{\Delta T} t} dt$$

$$\text{由采样性质 } C_n = \frac{1}{\Delta T} \int_{-\frac{\Delta T}{2}}^{\frac{\Delta T}{2}} \delta(t) e^{-j\frac{2\pi n}{\Delta T} t} dt$$

$$= \frac{1}{\Delta T} e^0 = \frac{1}{\Delta T}. \quad \forall n.$$

$$\therefore S_{\Delta T}(t) = \sum_{n=-\infty}^{\infty} \frac{1}{\Delta T} e^{j\frac{2\pi n}{\Delta T} t}$$

$$\Rightarrow \mathcal{F}(S_{\Delta T}(t)) = \mathcal{F}\left\{\frac{1}{\Delta T} \sum_{n=-\infty}^{\infty} e^{j\frac{2\pi n}{\Delta T} t}\right\}$$

$$= \frac{1}{\Delta T} \sum_{n=-\infty}^{\infty} \mathcal{F}\{e^{j2\pi(-\frac{n}{\Delta T})t}\}$$

$$\text{由(1), 上式} = \frac{1}{\Delta T} \sum_{n=-\infty}^{\infty} \delta(\mu - \frac{n}{\Delta T})$$

(2) 证明实信号 $f(x)$ 的离散频域变换结果是共轭对称的.

2. 证明 $f(x)$ 实信号的离散频域变换结果共轭对称

即. $F^*(u) = F(-u)$ $F(u)$ 为 $f(x)$ 的 DFT

$$F(u) = \sum_{x=0}^{N-1} f(x) e^{-j2\pi ux/N} \quad u = 0, 1, 2, \dots, N-1$$

$$\begin{aligned} \Rightarrow F^*(u) &= \left[\sum_{x=0}^{N-1} f(x) e^{-j2\pi ux/N} \right]^* \\ &= \sum_{x=0}^{N-1} [f(x) e^{-j2\pi ux/N}]^* \\ &= \sum_{x=0}^{N-1} f(x)^* e^{j2\pi ux/N} \quad \left. \begin{array}{l} \text{积共轭} \\ \text{和共轭} \end{array} \right\} \text{(积共轭 = 共轭的积)} \\ &= \sum_{x=0}^{N-1} f(x) e^{-j2\pi (-u)x/N} \\ &= F(-u) \quad \text{QED.} \end{aligned}$$

(3) 证明二维变量的离散傅里叶变换的卷积定理。

3. 证明二维变量离散 Fourier 变换的卷积定理。

①. 先证 $f(x,y) * h(x,y) \Leftrightarrow F(u,v) \cdot H(u,v)$

$$\mathcal{F}(f(x,y) * h(x,y))$$

$$= \mathcal{F}\left(\sum_{m=0}^{M-1} \sum_{n=0}^{N-1} f(m,n) h(x-m, y-n)\right)$$

$$= \sum_x \sum_y \sum_m \sum_n f(m,n) h(x-m, y-n) e^{-j2\pi \left(\frac{ux}{M} + \frac{vy}{N}\right)}$$

$$= \sum_m \sum_n f(m,n) \left[\sum_{x=0}^{M-1} \sum_{y=0}^{N-1} h(x-m, y-n) e^{-j2\pi \left(\frac{u(x-m)}{M} + \frac{v(y-n)}{N}\right)} \right] e^{-j2\pi \left(\frac{um}{M} + \frac{vn}{N}\right)}$$

$$\text{let } \alpha = x-m \quad \beta = y-n$$

$$\text{上式} = \sum_m \sum_n f(m,n) \left[\sum_{\alpha=0}^{M-1} \sum_{\beta=0}^{N-1} h(\alpha, \beta) e^{-j2\pi \left(\frac{u\alpha}{M} + \frac{v\beta}{N}\right)} \right] e^{-j2\pi \left(\frac{um}{M} + \frac{vn}{N}\right)} \quad \left. \begin{array}{l} \text{周期性} \\ \downarrow \end{array} \right\}$$

$$= \sum_m \sum_n f(m,n) \left[\sum_{\alpha=0}^{M-1} \sum_{\beta=0}^{N-1} h(\alpha, \beta) e^{-j2\pi \left(\frac{u\alpha}{M} + \frac{v\beta}{N}\right)} \right] e^{-j2\pi \left(\frac{um}{M} + \frac{vn}{N}\right)}$$

$$= \sum_m \sum_n f(m,n) H(u,v) e^{-j2\pi \left(\frac{um}{M} + \frac{vn}{N}\right)}$$

$$= H(u,v) \left\{ \sum_m \sum_n f(m,n) e^{-j2\pi \left(\frac{um}{M} + \frac{vn}{N}\right)} \right\}$$

$$= H(u,v) F(u,v)$$

$$\therefore f(x,y) * h(x,y) \Leftrightarrow F(u,v) H(u,v)$$

$$(2) \quad \text{证 } f(x,y) h(x,y) \Leftrightarrow \frac{1}{MN} F(u,v) * H(u,v)$$

F^{-1} 表示 IDFT

$$\begin{aligned} & F^{-1} \left\{ \frac{1}{MN} F(u,v) * H(u,v) \right\} \\ &= F^{-1} \left\{ \frac{1}{(MN)^2} \sum_{m=0}^{M-1} \sum_{n=0}^{N-1} \sum_{u=0}^{M-1} \sum_{v=0}^{N-1} F(m,n) H(u-m, v-n) e^{j2\pi \left(\frac{ux}{M} + \frac{vy}{N} \right)} \right\} \\ &= \frac{1}{MN} \sum_{m=0}^{M-1} \sum_{n=0}^{N-1} F(m,n) \left\{ \frac{1}{MN} \sum_{u=0}^{M-1} \sum_{v=0}^{N-1} H(u-m, v-n) \cdot \right. \\ &\quad \left. e^{j2\pi \left(\frac{x(u-m)}{M} + \frac{y(v-n)}{N} \right)} \right\} e^{j2\pi \left(\frac{xm}{M} + \frac{yn}{N} \right)} \end{aligned}$$

let $\alpha = u-m$ $\beta = v-n$ 由 (1) 中周期性.

$$\begin{aligned} \text{上式} &= \frac{1}{MN} \sum_m \sum_n F(m,n) \left\{ \frac{1}{MN} \sum_{\alpha=0}^{M-1} \sum_{\beta=0}^{N-1} H(\alpha, \beta) e^{j2\pi \left(\frac{x\alpha}{M} + \frac{y\beta}{N} \right)} \right. \\ &\quad \left. \cdot e^{j2\pi \left(\frac{xm}{M} + \frac{yn}{N} \right)} \right\} \end{aligned}$$

$$= h(x,y) \cdot \left\{ \frac{1}{MN} \sum_m \sum_n F(m,n) e^{j2\pi \left(\frac{xm}{M} + \frac{yn}{N} \right)} \right\}$$

$$= h(x,y) \cdot f(x,y)$$

$$\therefore f(x,y) h(x,y) \Leftrightarrow F(u,v) * H(u,v)$$

由 (1) (2) QED